

ЯЦКЕВИЧ В. Логопериодические вибраторные антенны и их расчёт на компьютере. — Радио, 2006, № 2, с. 8—10.

Программа, генерирующая геометрию логопериодической вибраторной антенны (ЛПВА) для программы MMANA.

В статье была приведена ссылка на интернет-ресурс (www.uni-vologda.ac.ru/kaf/physics), где была размещена дополнительная программа, создающая геометрию ЛПВА по вводимым в неё геометрическим параметрам. Эта программа генерировала готовый файл для программы MMANA. Упомянутая программа с разрешения авторов **К. С. Глушнёва** и **В. А. Яцкевича** размещена по адресу <http://ftp.radio.ru/pub/2019/08/lpva-proekt.zip> на нашем сервере.

ДЕМЧЕНКО Б. Генератор синусоидального сигнала со стабильной амплитудой. — Радио, 2019, № 5, с. 35, 36.

Печатная плата.

Чертёж печатной платы устройства и расположение элементов для монтажа в отверстия приведены на **рис. 1**. При установке транзистора КП103Л1 вместо

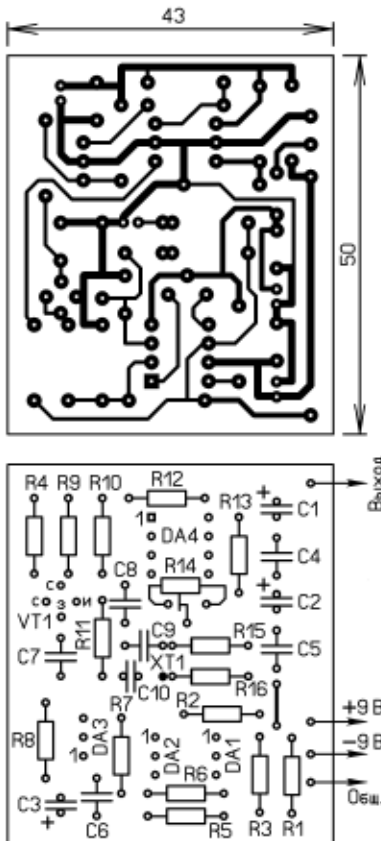


Рис. 1

КП103Л1 для вывода стока предусмотрено дополнительное отверстие. Расположение выводов у транзисторов КП103Л1 в корпусе КТ-26 (ТО-92) приведено на рис. 3 в разделе "Наша консультация" в "Радио", 2019, № 7, с. 48. Подстроечный резистор — СПЗ-38А или импортный. Конденсаторы С4—С6 — К10-17Б импортные; С7—С9 (MKS2 фирмы Wima) — на номинальное напряжение 50...100 В (VDC).

При установке ОУ К140УД17А, К140УД1701А или КР140УД17А следует учитывать иное расположение выводов. Резистор R4, задающий ток управления для ОУ КР140УД1208, не требуется.

От редакции. Чертежи печатной платы в форматах Sprint LayOut 5.0 и TIFFF размещены по адресу <http://ftp.radio.ru/pub/2019/05/gss.zip> на нашем сервере.

САПОЖНИКОВ М. Электронный "вibroплекс". — Радио, 2019, № 5, с. 54.

Печатная плата.

Чертёж печатной платы с возможностью подключения сенсорного манипулятора (см. рис. 2 статьи) и расположение элементов для монтажа в отверстия, кроме сенсоров E1, E2 и телефонного капсуля HA1, приведены на **рис. 2**.

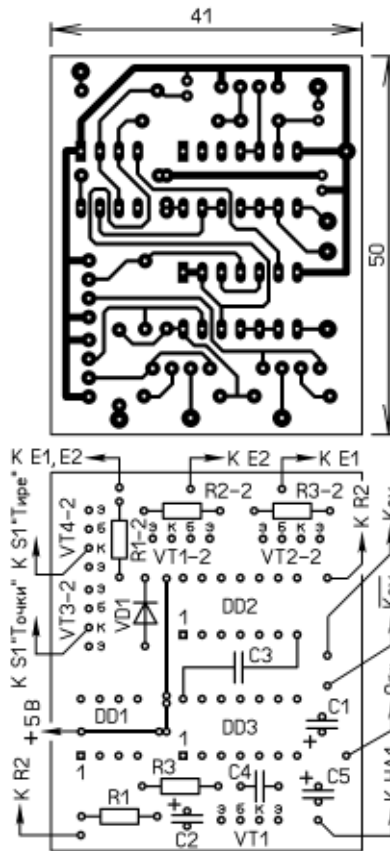


Рис. 2

Для отличия совпадающих позиционных обозначений элементы сенсорного манипулятора дополнительно пронумерованы через дефис цифрой 2. Сенсоры целесообразно собрать на отдельной плате и смонтировать её удобно для руки оператора. Конденсаторы C1, C2, C5 — оксидные К50-35 или импортные, C3, C4 — керамические К10-17Б или импортные. Диод VD1 — любой маломощный. О его полярности включения сказано в разделе "Наша консультация" в "Радио", 2019, № 7, с. 48. При работе от механического манипулятора элементы из рис. 2 статьи не устанавливаются.

От редакции. Чертежи печатной платы в форматах Sprint LayOut 5.0 и TIFFF размещены по адресу <http://ftp.radio.ru/pub/2019/05/evp.zip> на нашем сервере.

ГЕТТЕ А. Замена блока управления в проигрывателе грампластинок "Эстония ЭП-010С". — Радио, 2019, № 6, с. 18—22.

Ссылка на файлы программы и чертежа печатной платы.

Программа и прошивка микроконтроллера, а также чертёж печатной платы в формате DipTrace размещены по адресу <http://ftp.radio.ru/pub/2019/06/ESTONIJA.zip> на нашем сервере.

ОЗОЛИН М. Миниатюрный вольтметр. — Радио, 2019, № 6, с. 32, 33.

На вопрос читателя отвечает редакция.

Можно ли вместо микросхемы К176ИД2 применить микросхему К176ИД3, если можно, какие изменения надо внести в схему?

В данном устройстве микросхема К176ИД2 заменяема на К176ИД3 без каких-либо изменений в схеме подключения. Выходы микросхемы К176ИД3 выполнены на полевых транзисторах с изолированным затвором и индуцированным р-каналом с открытым стоком. Поэтому они имеют высокий активный уровень и предназначены для подключения маломощных светодиодных индикаторов с общим катодом или для подключения анодных выводов люминесцентных индикаторов.

ОБРАТИТЕ ВНИМАНИЕ

ИНШАКОВ В. Регулятор мощности паяльника с предварительным прогревом. — Радио, 2019, № 4, с. 28—30.

Ошибка на схеме (рис. 1 в статье).

Анод стабилитрона VD1 должен быть соединён с катодом диода VD3 и резисторами R5, R9, R12, а не с конденсаторами C1, C3, резисторами R4, R5, минусовым выводом диодного моста VD2 и катодом тринистора VS2.